

УДК: 676.1.021, 676.1.022

Влияние активирующих воздействий на состав, строение и реакционную способность древесины осины

Б. Н. КУЗНЕЦОВ^{1,2}, В. И. ШАРЫПОВ¹, С. А. КУЗНЕЦОВА^{1,2}, С. В. БАРЫШНИКОВ¹, В. Г. ДАНИЛОВ¹, О. В. ЯЦЕНКОВА¹, Н. М. ИВАНЧЕНКО¹

¹Институт химии и химической технологии Сибирского отделения РАН,
Академгородок, 50-24, Красноярск 660036 (Россия)

E-mail: bnk@icct.ru

²Сибирский федеральный университет,
проспект Свободный, 79, Красноярск 660041 (Россия)

(Поступила 20.03.12; после доработки 05.05.12)

Аннотация

Изучено влияние различных методов активации древесины осины (размол в мельницах различной конструкции, взрывной автогидролиз, катализитическое окисление пероксидом водорода) и комбинации этих методов на строение, химический состав и реакционную способность активированной древесины. Установлено, что все использованные способы предварительной механической обработки древесины осины приводят к изменению ее надмолекулярной структуры, химического состава и реакционной способности: в активированных образцах возрастает содержание легкогидролизуемых полисахаридов, снижается концентрация трудногидролизуемых полисахаридов и остаточного лигнина, увеличиваются скорости кислотного гидролиза полисахаридов в моносахара и окисления лигнина пероксидом водорода.

Ключевые слова: древесина осины, мехактивация, взрывной автогидролиз, катализитическое окисление, строение, состав, реакционная способность

ВВЕДЕНИЕ

Постоянно возобновляемые ресурсы лигнокеллюлозной биомассы в виде древесины, разнообразных древесных и сельскохозяйственных отходов служат практически неисчерпаемой сырьевой базой для производства востребованных химических веществ, материалов и биотоплив [1, 2].

В России наиболее распространенным видом растительного сырья является древесина, из которой в настоящее время получают довольно ограниченный ассортимент продуктов на целлюлозно-бумажных, гидролизных и лесохимических предприятиях.

Существующие промышленные технологии делигнификации, гидролиза, экстракции, пиролиза и газификации древесного сырья не удовлетворяют современным требованиям по энергоэффективности и экологической безопасности.

Совершенствование процессов глубокой переработки лигнокеллюлозной биомассы проводится по различным направлениям [3, 4]. Производительность технологий глубокой переработки твердого органического сырья, как правило, лимитируется процессами массопереноса, негативное влияние которых может быть минимизировано путем тонкого измельчения древесины в аппаратах различной конструкции [5, 6].

Повышение эффективности процессов глубокой переработки лигнокеллюлозной биомассы может достигаться путем ее механической и химической активации. При этом возрастает реакционная способность биомассы и облегчается ее разделение на составляющие компоненты – полисахариды и лигнин. В последнем случае особый интерес представляет использование так называемых зеленых реагентов, безопасных для окружающей среды.

В качестве таких реагентов применяются водяной пар, кислород, пероксид водорода и др. В частности, кратковременная активация лигноцеллюлозной биомассы перегретым паром и последующий быстрый сброс давления (так называемый взрывной автогидролиз) облегчают разделение активированной древесины на целлюлозу и низкомолекулярный лигнин [7, 8]. Более эффективное разделение древесины на целлюлозу и низкомолекулярный лигнин достигается путем ее каталитического окисления пероксидом водорода в среде “уксусная кислота – вода” [9].

Цель настоящей работы – изучение влияния различных методов активации древесины осины на строение, химический состав и реакционную способность активированной древесины.

ЭКСПЕРИМЕНТАЛЬНАЯ ЧАСТЬ

В качестве исходного сырья использовалась древесина осины. Образцы древесины вырезаны из средней части (по длине) пяти стволов зрелых деревьев, заготовленных в окрестностях Красноярска. Далее образцы измельчали до размера менее 10 мм, тщательно перемешивали и высушивали при 100 °C до влажности менее 1 мас. %. Испытания по стандартным методам [10] показали, что древесина имеет следующий состав (%) в расчете на массу абсолютно сухой древесины: целлюлоза 46.3, лигнин 20.4, гемицеллюлозы 24.1, водорастворимые вещества 3.6, смолы 0.9, экстрактивные вещества 4.3, зола 0.5.

Механическая обработка древесины

Перед механической обработкой различными способами древесина дополнительном измельчалась до размеров частиц менее 0.5 мм. Полученный образец перемешивали с дистиллированной водой в необходимых пропорциях непосредственно перед обработкой.

Ножевой размол осуществлялся в дисковой мельнице ЛДМ-74 в течение 30 мин при концентрации древесины в водной суспензии 1.8 мас. %.

Для струйного размола использовалась лабораторная установка, в которой водная суспензия, содержащая 1.8 мас. % древеси-

ны, под давлением 16 МПа подавалась в течение 15 мин через сопла диаметром 2 мм на фрезу со скоростью до 145 м/с.

Механическая активация проводилась в центробежном активаторе типа АГО-2 при ускорении 60g и продолжительности процесса 30 мин. Концентрация древесины в водной суспензии составляла 8 мас. %.

Вибрационный размол осуществлялся на вибрационном стенде типа СВУ-2 в течение 15 мин, концентрация водной суспензии составляла 8 мас. %.

После завершения механической обработки полученные продукты фильтровали. Остаток на фильтре промывали дистиллированной водой, высушивали и определяли его выход. В твердом продукте определяли содержание легкогидролизуемых полисахаридов (ЛГПС), трудногидролизуемых полисахаридов (ТГПС) и лигнина Классона по стандартным методикам, описанным в работах [10, 11]. В водной фракции, полученной после фильтрования суспензии древесины после механической обработки, определяли содержание редуцирующих веществ [11].

Активация древесины методом взрывного автогидролиза

Активация измельченной древесины осины (фракция 5–10 мм) методом взрывного автогидролиза осуществлялась на установке периодического действия, описанной в работах [12, 7], в интервале температур 180–240 °C, при давлении насыщенного пара 1.0–3.3 МПа. В реактор вместимостью 0.8 л, предварительно нагретый до заданной температуры, загружали измельченную древесину. Реактор плотно закрывали, подавали нагретый водяной пар из паронакопителя. После выдержки в течение 3–4 мин осуществлялся быстрый сброс давления с “выстрелом” автогидролизованной древесины из реактора через открытый шаровой кран в приемную емкость. Затем автогидролизованную древесину экстрагировали горячей водой при температуре 100 °C, гидромодуле 50 в течение 3 ч с целью удаления водорастворимых веществ.

Получение микрокристаллической целлюлозы из автогидролизованной древесины

Для получения микрокристаллической целлюлозы (МКЦ) автогидролизованную древесину подвергали окислительной делигнификации в среде “уксусная кислота – пероксид водорода – вода – сернокислотный катализатор” в реакторе из нержавеющей стали по методике, описанной в работе [13]. Полученную МКЦ отделяли от раствора фильтрованием, промывали дистиллированной водой до нейтральной реакции промывных вод, высушивали при температуре 103 °C.

Содержание остаточного лигнина в полученной МКЦ, а также показатели влажности и зольности определяли по стандартным методикам, описанным в работе [11].

Степень полимеризации (СП) МКЦ определяли в железовиннонатриевом комплексе в соответствии с ГОСТ 25438–82 на капиллярном вискозиметре типа ВПЖ-3 по методике, изложенной в работе [11].

Исследование строения древесины и полученных целлюлозных продуктов

Строение исходной и активированной древесины, а также полученных целлюлозных продуктов исследовалось методами РФА, ИКС и сканирующей электронной микроскопии с помощью микроскопа TM-1000 (фирма Hitachi).

Рентгенограммы получены на дифрактометре ДРОН-3М, CuK_α -излучение, в диапазоне углов $2\theta = 5\text{--}55^\circ$. Обработку профилей дифракционных максимумов проводили с использованием программы New-Profile. Индекс кристалличности рассчитывали в соответствии с методикой, описанной в работе [14].

ИК-спектры снимали с использованием ИК-Фурье спектрометра Vector 22 фирмы Bruker. Обработка спектральной информации проведена по программе OPUS/YR (версия 2.2). Твердые образцы (3 мг) для анализа готовили в виде таблеток в матрице с KBr.

РЕЗУЛЬТАТЫ И ОБСУЖДЕНИЕ

Влияние механической обработки древесины осины на ее свойства

Согласно данным сканирующей электронной микроскопии, предварительная механи-

ческая обработка древесины осины в аппаратах ножевого и струйного размола, вибрационного помола и механического активирования в водной среде сопровождается деформацией и частичным разрушением основной механической ткани древесины с одновременным диспергированием субструктурных компонентов. Наиболее существенные изменения наблюдались при механической активации в АГО-2: происходит деформация, расщепление и разрушение клеточных стенок, частичная фибрillation пучков волокон.

По данным РФА (рис. 1), механическое активирование древесины осины приводит к уменьшению интенсивности и увеличению ширины пиков с индексом 002. Ширина рентгеновских дифракционных линий зависит от размеров областей кристалличности (областей когерентного рассеяния): чем больше размер

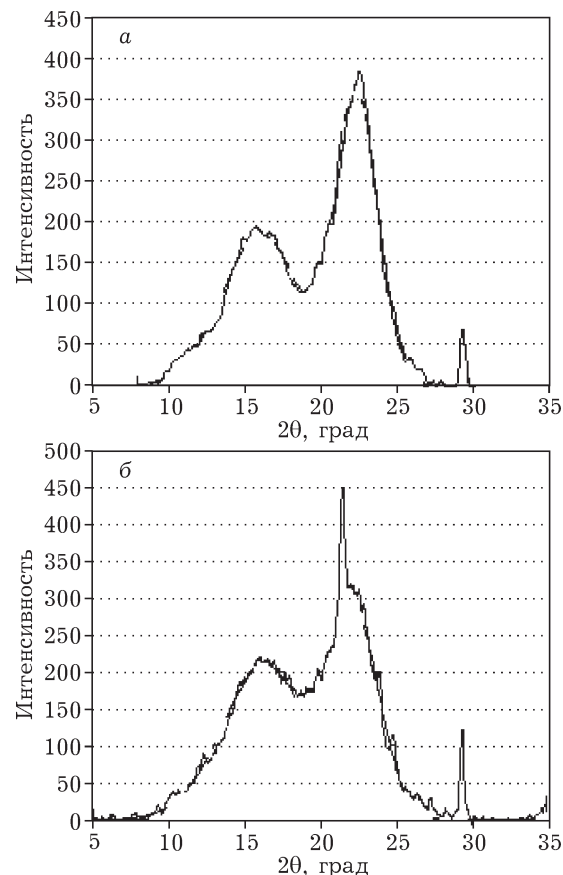


Рис. 1. Дифрактограммы исходной (а) и механообработанной в мельнице АГО-2 в течение 30 мин при гидромодуле 6 (б) древесины осины.

этих областей, тем меньше ширина пика на рентгенограмме. Количественным показателем может служить отношение интенсивности пика к его полуширине.

Рассчитанный из дифрактограмм индекс кристалличности исходной древесины осины составил 0.50, а среднестатистический размер кристаллита – 4.69 нм. Активация образцов древесины в АГО-2 при гидромодуле 12.5 сопровождается увеличением индекса кристалличности до 0.68 и размеров кристаллитов до 4.71 нм (рассчитан по Шерреру). Наблюдаемые изменения, вероятно, связаны с растворением части аморфной составляющей древесины в воде в процессе активации.

Механическая обработка древесины оказывает существенное влияние на ее химический состав. Все используемые методы механической активации приводят к увеличению содержания в образцах ЛГПС и снижению количества ТГПС и остаточного лигнина. Характер изменения химического состава механически активированной древесины осины при ее кислотном гидролизе показан на рис. 2.

Одновременно увеличивается выход водорастворимых и редуцирующих веществ. Так, содержание водорастворимых продуктов в механически активированной в АГО-2 древесине возрастает в 3.6 раза (до 12.8 мас. %), а редуцирующих веществ – в 19 раз (до 5.7 мас. %) по сравнению с исходной древесиной.

Механическая активация древесины способствует как увеличению содержания ЛГПС, так и повышению скорости их кислотного гид-

ТАБЛИЦА 1

Влияние способов предварительной механической обработки на скорость образования сахаров в процессе гидролиза древесины осины 2 % HCl в течение 1 ч, г/(л · ч)

Способы обработки	Скорость образования сахаров
Исходная древесина	0.07
Струйный размол	0.11
Вибрационный размол	0.18
Ножевой размол	0.23
Активация в АГО-2	0.33

ролиза. Как следует из приведенных в табл. 1 данных, наибольший эффект наблюдается для древесины осины, механически активированной в аппарате АГО-2.

Влияние взрывного автогидролиза древесины на ее свойства

По данным РФА, изменения в структуре древесины происходят уже после ее обработки водяным паром при температуре 200 °C. При этом на дифрактограммах наблюдается резкое снижение интенсивности пика с максимумом при $2\theta = 18.5^\circ$; уменьшается интенсивность пика при $2\theta = 22^\circ$.

Активирующая обработка приводит к снижению в ИК-спектрах интенсивности полосы поглощения при 1600 см^{-1} , соответствующей колебаниям ароматических связей C=C, и к увеличению интенсивности полосы при 1720 см^{-1} , которую можно отнести к колебаниям связи C=O в карбоксильной группе. Наблюдаемые изменения связаны с разупорядочением надмолекулярной структуры древесины и частичной деполимеризацией лигнина и гемицеллюлоз [7, 8]. С увеличением температуры и продолжительности обработки древесины водяным паром возрастает интенсивность процессов деполимеризации. При температурах выше 240 °C интенсифицируются реакции термического разложения древесины с выделением летучих веществ и смолы.

Доля гемицеллюлоз в исходной древесине осины вдвое больше по сравнению с древесиной сосны и составляет 24.4 %. Однако после обработки при температуре 187 °C в течение 5 мин в взрывном автогидролизованной древесине осины остается 7 % гемицеллюлоз. Повышение температуры процесса взрывного авто-

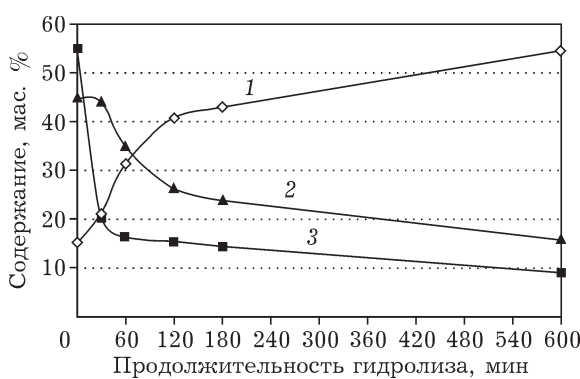


Рис. 2. Изменение химического состава древесины осины, активированной в АГО-2 при гидромодуле 12.5 в процессе гидролиза 2 % HCl при 96–100 °C: 1 – ЛГПС, 2 – остаточный лигнин, 3 – ТГПС.

гидролиза до 220 °C приводит к дальнейшему уменьшению содержания гемицеллюлоз в автогидролизованной древесине осины до 0.5 %. При температуре автогидролиза 240 °C гемицеллюлоз в автогидролизованной древесине осины практически нет.

В отличие от гемицеллюлоз, содержание целлюлозы в автогидролизованной древесине осины слабо изменяется при вариации температуры и продолжительности процесса обработки паром.

Лигнин в условиях взрывного автогидролиза может подвергаться частичной деполимеризации с образованием низкомолекулярных фрагментов, способных по аналогии с нативным лигнином растворяться в органических растворителях и водных растворах щелочей.

Установлено, что низкомолекулярный лигнин извлекается из автогидролизованной древесины осины растворами 0.1 M NaOH и 0.25 M Na₂CO₃ (рис. 3).

Количество низкомолекулярного лигнина, образующегося в процессе взрывного автогидролиза древесины, определяется как температурой процесса, так и продолжительностью обработки. При фиксированной температуре автогидролиза количество низкомолекулярного лигнина возрастает с увеличением продолжительности процесса активации (см. рис. 3).

Путем удаления из автогидролизованной древесины сосны, ели и осины водорастворимых

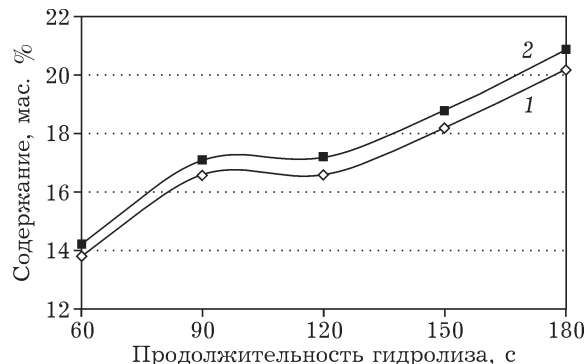


Рис. 3. Данные по экстракции низкомолекулярного лигнина (НМЛ) из автогидролизованной при 220 °C древесины осины (% от абсолютно сухой автогидролизованной древесины): 1 – экстракция р-ром 0.25 M Na₂CO₃, 2 – экстракция р-ром 0.1 M NaOH.

веществ и низкомолекулярного лигнина получены волокнистые продукты с выходом 57–68 %, которые содержат до 85 % целлюлозы.

Ранее [9, 13] авторами было показано, что существенная интенсификация окислительной делигнификации древесины пероксидом водорода в среде разбавленной уксусной кислоты при 120–130 °C происходит в присутствии каталитических добавок серной кислоты. В таких условиях, наряду с окислительной деструкцией лигнина и гемицеллюлоз, осуществляется и гидролиз аморфной части целлюлозы, что позволяет реализовать одностадийный метод получения микрокристаллической целлюлозы (МКЦ) из древесины.

ТАБЛИЦА 2

Влияние условий получения МКЦ из автогидролизованной древесины осины на ее выход и расход пероксида водорода

Параметры стадий автогидролиза древесины <i>T, °C</i> <i>P, МПа</i> <i>τ, мин</i>	Выход МКЦ, Содержание остаточного лигнина в МКЦ, мас. %			Расход H ₂ O ₂ , г/г МКЦ				
	делигнификации автогидролизованной древесины (<i>T</i> = 110 °C, ГМ = 10, <i>τ</i> = 3 ч)							
	Состав раствора, мас. %							
	CH ₃ COOH	H ₂ O ₂	H ₂ SO ₄					
180	1.0	2	23.6	6.4	2	32.3	1.2	2.0
190	1.2	2	23.6	6.4	2	31.7	1	2.0
210	1.9	2	21.8	8.2	2	31.9	<1	2.5
220	2.3	2	22.7	7.3	2	31.0	<1	2.3
230	2.8	2	23.6	6.4	2	30.2	<1	2.1
240	3.3	2	23.6	6.4	2	30.4	<1	2.1
210	1.9	3	20.0	10.2	2	29.2	<1	3.5
220	2.3	3	26.0	4.2	2	30.5	<1	1.4
230	2.8	3	23.6	6.4	2	29.2	<1	2.2
240	3.3	3	23.6	6.4	2	29.8	<1	2.1

В настоящей работе осуществлен подбор оптимальных режимов стадий автогидролиза древесины осины и окислительной делигнификации автогидролизованной древесины пероксидом водорода, обеспечивающих высокий выход качественной МКЦ при снижении температуры окисления и затрат пероксида водорода.

Данные по влиянию условий (температуры, продолжительности, концентрации компонентов в реакционной смеси) процессов автогидролиза и каталитической делигнификации автогидролизованной древесины осины смесью уксусной кислоты и пероксида водорода на выход МКЦ, содержание в ней остаточного лигнина и расход пероксида водорода приведены в табл. 2.

Максимальный выход МКЦ из автогидролизованной древесины осины составляет 32.3 % от массы абсолютно сухого сырья при содержании остаточного лигнина в МКЦ 1.2 мас. %. Минимальное количество остаточного лигнина (менее 1 мас. %) присутствует в образцах МКЦ, которые получены из древесины, автогидролизованной при температуре 210–240 °C в течение 2–3 мин. При этом выход МКЦ сохраняется на уровне 29.2–30.4 мас. %.

Расход пероксида водорода в процессе получения МКЦ в два раза меньше, чем при использовании известного метода ее получения [17].

С увеличением температуры автогидролиза древесины осины от 180 до 240 °C степень полимеризации полученной МКЦ уменьшается от 187 до 83. Отметим, что СП в пределах 83–187 соответствует СП промышленных об-

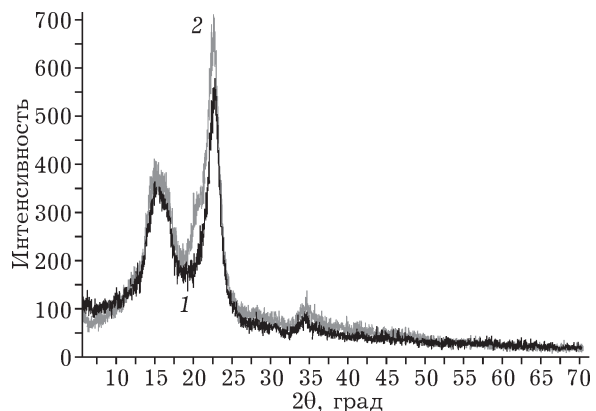


Рис. 4. Дифрактограммы промышленной МКЦ марки “Анкир-Б” (1) и МКЦ из автогидролизованной осины (2).

разцов МКЦ ($SP < 250$) [19]. В табл. 3 представлены данные по влиянию параметров стадий автогидролиза и делигнификации на величину СП и индекс кристалличности полученных образцов МКЦ (K_p).

Рассчитанные значения K_p для образцов МКЦ составляют 0.60–0.65 (см. табл. 3), что сопоставимо с индексами кристалличности МКЦ из древесной сульфатной и сульфитной целлюлозы (0.65–0.67) [19].

Согласно данным рентгеновской дифрактометрии (рис. 4), по степени кристалличности МКЦ, полученная из автогидролизованной осины, сопоставима с промышленной МКЦ марки “Анкир-Б”, выпускаемой компанией “Эвалар”.

ТАБЛИЦА 3

Влияние условий автогидролиза и делигнификации на степень полимеризации и индекс кристалличности МКЦ

Параметры процесса			Характеристики МКЦ				
автогидролиза древесины			делигнификации автогидролизованной древесины*			СП	K_p
T, °C	P, МПа	τ, мин	Состав раствора, мас. %				
			CH ₃ COOH	H ₂ O ₂	H ₂ SO ₄		
180	1.0	2	23.6	6.4	2	187	0.60
190	1.2	2	23.6	6.4	2	165	0.64
210	1.9	2	21.8	8.2	2	170	0.64
220	1.9	2	22.7	7.3	2	108	0.65
230	2.8	2	23.6	6.4	2	83	0.60
240	3.3	2	23.6	6.4	2	90	0.63

Примечание. τ – продолжительность, СП – степень полимеризации, ГМ – гидромодуль, K_p – индекс кристалличности.

*T = 110 °C, ГМ = 10, τ = 3 ч.

ЗАКЛЮЧЕНИЕ

Изучено влияние различных методов активации древесины осины: размол в мельницах различной конструкции, взрывной автогидролиз, каталитическое окисление пероксидом водорода, – и комбинации этих методов на строение, химический состав и реакционную способность активированной древесины.

Установлено, что все использованные способы предварительной механической обработки древесины осины приводят к изменению надмолекулярной структуры лигноцеллюлозной матрицы. По данным РФА и электронной микроскопии, наиболее существенны изменения в случае механической активации древесины в аппарате АГО-2. Наблюдается интенсивная фибрillation крупных пучков древесного волокна, разрушение и деформация стенок крупных сосудов. При этом происходят изменения химического состава и реакционной способности активированной древесины, проявляющиеся в увеличении содержания легкогидролизуемых полисахаридов в активированных образцах, снижении концентрации ТГПС и остаточного лигнина, повышении скорости кислотного гидролиза полисахаридов в моносахара и окисления лигнина пероксидом водорода.

Предложен экологически безопасный метод получения МКЦ, совмещающий стадии активации древесины осины взрывным автогидролизом и каталитического окисления автогидролизованной древесины пероксидом водорода. Осуществлен подбор оптимальных режимов стадий автогидролиза древесины осины и окислительной делигнификации автогидролизованной древесины пероксидом

водорода, обеспечивающих высокий выход МКЦ, которая практически не содержит остаточного лигнина. Преимущество нового метода получения МКЦ по сравнению с известным состоит в снижении температуры окислительной делигнификации и затрат пероксида водорода.

СПИСОК ЛИТЕРАТУРЫ

- 1 Klass D. L. Biomass for Renewable Energy, Fuels and Chemicals. San Diego: Acad. Press, 1998.
- 2 Biorefineries – Industrial Processes and Products / B. Kamm, P. R. Gruber and M. Kamm (Eds.). Weinheim: VCH Verlag, 2006.
- 3 Кузнецов Б. Н., Кузнецова С. А., Тарабанько В. Е. // Рос. хим. журн. 2004. Т. XLVIII, № 3. С. 4.
- 4 Кузнецов Б. Н. // Химия уст. разв. 2011. Т. 19, № 1. С. 77.
- 5 Легоцкий С. С., Гончаров В. Н. Размальзывающее оборудование и подготовка бумажной массы. М.: Бум. пром-сть, 1990. 224 с.
- 6 Gosh P, Singh A. // Adv. Appl. Microbiol. 1993. Vol. 39. P. 295.
- 7 Кузнецова С. А., Александрова Н. Б., Кузнецов Б. Н. // Химия уст. разв. 2001. Т. 9, № 5. С. 531.
- 8 Ramos L. P. // Quim. Nova. 2003. Vol. 26, No. 6. P. 863–871.
- 9 Кузнецов Б. Н., Тарабанько В. Е., Кузнецова С. А. // Кинетика и катализ. 2008. Т. 49. № 4. С. 541.
- 10 Шарков В. И., Куйбина Н. И., Соловьева Ю. П. Количественный химический анализ растительного сырья. М.: Лесн. пром-сть, 1968. 60 с.
- 11 Оболенская А. В., Ельницкая З. П., Леонович А. А. Лабораторные работы по химии древесины и целлюлозы. М.: Экология, 1991. 320 с.
- 12 Kuznetsov B. N., Efremov A. A., Levdansky V. A., Kuznetsova S. A., Polezhaeva N. I., Shilkina T. A., Krotova I. V. // Biores. Technol. 1996. Vol. 58. P. 181.
- 13 Kuznetsov B. N., Kuznetsova S. A., Danilov V. G., Yatsenkova O. V. // React. Kinet. Catal. Lett. 2008. Vol. 94. P. 311.
- 14 Иелович М. Я., Веверис Г. П. // Химия древесины. 1983. № 2. С. 10–14.
- 15 Секущин Н. А., Кочева Л. С., Демин В. А. // Химия раст. сырья. 1999. № 1. С. 59–64.
- 16 Иоелович М. Я., Веверис Г. П. // Химия древесины. 1987. № 5. С. 72–80.
- 17 Голязимова О. В., Политов А. А., Ломовский О. И. // Химия раст. сырья. 2009. № 2. С. 53–57.